

- [5] Nölscher C., Saemann - Ischenko G. // Phys. Rev. B. 1985. V. 32. P. 1519-1531.
- [6] Burbank R.D., Dynes R.S., Rose J.M. // J. of Low Temp. Phys. 1979. V 39. P. 573-585.

Поступило в Редакцию
26 июня 1989 г.

Письма в ЖТФ, том 15, вып. 22
05.4; 0.9

26 ноября 1989 г.

СИГНАЛЬНЫЕ И ШУМОВЫЕ ХАРАКТЕРИСТИКИ МОСТИКОВ $YBa_2Cu_3O_{7-x}/Al_2O_3$ В МИЛЛИМЕТРОВОМ ДИАПАЗОНЕ ВОЛН

А.А. Верёвкин, В.А. Ильин,
Ю.Н. Инкин, В.Н. Лаптев,
В.И. Махов, В.М. Шамаев,
В.С. Эткин

Для создания СВЧ устройств на основе высокотемпературных сверхпроводников необходимо получение структур на подложках из материала с малым значением диэлектрической проницаемости и их исследование в широком интервале температур и длин волн электромагнитного излучения. Целью настоящей работы является изучение отклика на монохроматический сигнал, а также шумов мостиков из $YBa_2Cu_3O_{7-x}$ на подложках из Al_2O_3 .

Мостики были изготовлены с помощью магнетронного напыления на подложках из монокристаллического сапфира. Температура T_c сверхпроводящего перехода пленок $YBa_2Cu_3O_{7-x}$, определенная по зависимости критического тока J_c от температуры, составляла 80-85 К. Размеры мостиков варьировались в пределах 10-50 мкм по ширине и 24-120 мкм по длине при толщине пленки ≈ 1 мкм. Плотность критического тока мостиков при 4.2 К составляла $J_c \approx \approx 10^3$ А/см², дифференциальное сопротивление в рабочей точке не превышало 10 Ом.

При изготовлении мостиков особое внимание уделялось качеству подводящих электродов. Они были выполнены в виде медных контактных площадок с малым переходным сопротивлением. Контактные площадки наносились через маску способом термического испарения при давлении в камере $\approx 5 \cdot 10^{-4}$ Па без нагрева подложки. Сразу после напыления сопротивление переходного слоя медь - $YBa_2Cu_3O_{7-x}$ при 77 К составляло $\approx 3 \cdot 10^2$ Ом/см². После термической обработки в течение 1 часа оно снижалось до $10^{-3} - 10^{-4}$ Ом/см². При этом вольт-амперные характеристики (ВАХ) контактов симметричны по отношению к изменению направления протекающего через них тока.

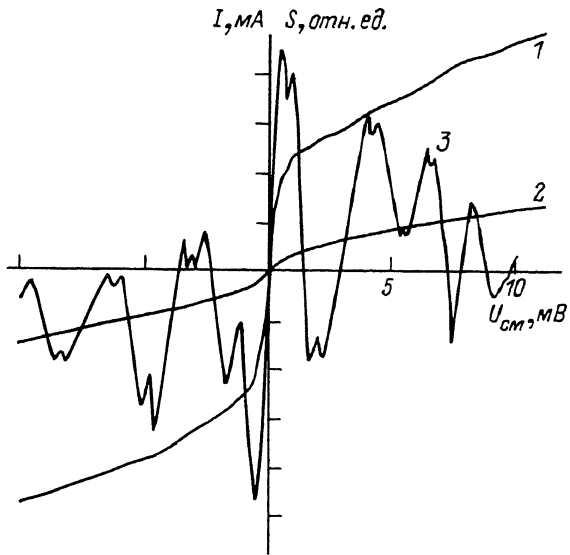


Рис. 1. Вольт-амперные характеристики мостика, размерами $16 \times 24 \text{ мкм}^2$ при $T=4.2 \text{ К}$ (кривая 1) и $T=77 \text{ К}$ (кривая 2); зависимость отклика от напряжения смещения при $T=4.2 \text{ К}$ (кривая 3).

Изготовленные таким образом подводящие электроды устойчивы к термоциклированию; после 10 термоциклов (4.2–300 К) сопротивление контактов при $T=4.2 \text{ К}$ составляло $\approx 0.1 \Omega$.

В работе исследовались ВАХ и шумовые характеристики мостиков, а также параметры СВЧ детекторов на их основе (вольт-ваттная чувствительность $?, \text{ минимальная обнаруживаемая мощность } P_{min}$). В последнем случае переходы помещались в детекторную камеру, аналогичную описанной в [1]. Измерения проводились в 4 мм диапазоне волн с использованием монохроматического сигнала, модулированного по амплитуде с частотой 1 кГц. Продетектированное напряжение подавалось непосредственно на вход измерительного усилителя „Унипан-233-7” без согласующего трансформатора. Исследования проводились при температурах $T=4.2$ и 77 К .

На рис. 1 показаны ВАХ мостика размерами $16 \times 24 \text{ мкм}^2$ при 4.2 К (кривая 1) и 77 К (кривая 2). Они имеют вид, типичный для множественных джозефсоновских переходов [2]. Участок критического тока имеет некоторый наклон, т.к. измерения велись по двухпроводной схеме. На ВАХ, снятой при повышении температуры.

На том же рисунке приведена зависимость отклика S перехода от напряжения смещения U_{cm} на нем (кривая 3). Измерения проведены при частоте сигнала $f_c = 72 \text{ ГГц}$, мощности $P = 10^{-8} \text{ Вт}$ и $T=4.2 \text{ К}$. Экстремумы, наблюдающиеся на зависимости $S(U_{cm})$, нельзя связать со ступеньками Шапиро, характерными для взаимодействия джозефсоновского перехода с СВЧ излучением. Положения

экстремумов на оси напряжений совпадают с особенностями, наблюдающимися на автономной ВАХ (кривая 1). В то же время вид $S(\mathcal{U}_{cm})$ с переворотом фазы характерен для джозефсоновских переходов. Приведенные данные свидетельствуют о том, что в исследованных мостиках реализуется система множественных случайных джозефсоновских контактов, образующихся между гранулами материала, из которого они изготовлены. Аномалии, наблюдающиеся на ВАХ мостиков, возникают, по-видимому, из-за немонотонности функции распределения критических токов указанных контактов.

При $P \geq 10^{-7}$ Вт $S(\mathcal{U}_{cm})$ имеет вид кривой с максимумом, который сдвигается в сторону больших значений \mathcal{U}_{cm} с ростом P ; при этом переворот фазы отсутствует. Такое поведение отклика связано с синхронизацией межгранульных джозефсоновских переходов СВЧ мощностью [3, 4].

Величина вольт-ваттной чувствительности детектора на основе мостика, ВАХ которого показана на рис. 1, $\gamma \approx 3 \cdot 10^3$ В/Вт при $P \leq 10^{-9}$ Вт и $T=4.2$ К, $P_{min} \leq 2 \cdot 10^{-12}$ Вт/Гц $^{1/2}$ при той же температуре. Отметим, что величина P_{min} определяется шумами усилителя низкой частоты и может быть уменьшена при улучшении его согласования с используемым мостиком. Динамический диапазон детектора при $T=4.2$ К превышает 30 Дб. Приведенные значения типичны для всей группы исследованных мостиков. Наибольшее значение вольт-ваттной чувствительности детектора было получено при использовании мостика с размерами 24×36 мкм 2 . Оно составило в указанных выше условиях $\gamma = 7 \cdot 10^3$ В/Вт и близко к аналогичному параметру детектора на основе цепочки джозефсоновских переходов из Nb [5].

Повышение температуры до 77 К приводит, как видно из рис. 1 (кривая 2), к падению критического тока и нелинейности ВАХ. Вольт-ваттная чувствительность уменьшается при этом до значения $\gamma \approx 50$ В/Вт ($P \leq 10^{-7}$ Вт).

Исследования шумов мостиков из $YBa_2Cu_3O_{7-x}$ проведены при $T=77$ К, т.к. только в этом случае они превышали собственные шумы входного усилителя. На рис. 2 показана спектральная плотность шумов мостика размерами 16×24 мкм 2 при напряжении, соответствующем первому максимуму отклика (рис. 1). Приведенную на рис. 2 кривую можно разделить на три характерных участка. В диапазоне частот $f=2 \cdot 10^2 - 3 \cdot 10^4$ Гц выполняется известный закон для фликкер-шума $B \sim f^{-\alpha}$ ($\alpha \geq 1$), причем определенная из него частота среза $f_{cp} = (2-3) \cdot 10^4$ Гц.

На участке кривой, соответствующем $f \leq 200$ Гц, наблюдается избыточный „ключевой“ шум [6]. Он возникает при напряжениях смещения, соответствующих максимумам дифференциального сопротивления, и исчезает при подаче на мостик СВЧ излучения с $P = 10^{-8} - 10^{-7}$ Вт. Это указывает на релаксационную природу ключевого шума [7]. При этом, в отличие от релаксационных колебаний, наблюдаемых в цепочках джозефсоновских переходов, шум имеет нерегулярный характер, что связано, по-видимому, с множественностью джозефсоновских контактов в мостике. Не следует, одна-

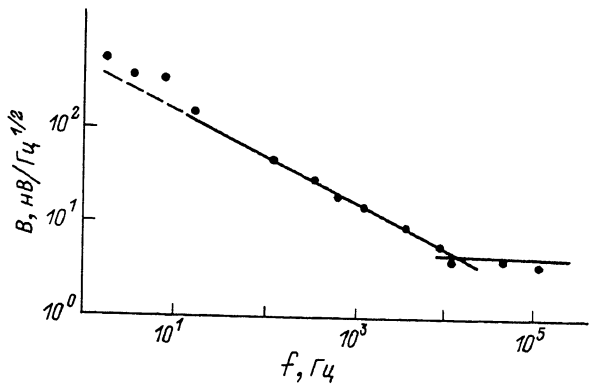


Рис. 2. Частотная зависимость шумов мостика размерами $16 \times 24 \text{ мкм}^2$ при $T=77 \text{ К}$.

ко, исключать возможности того, что ключевой шум связан со входом и выходом джозефсоновских вихрей из состояния пиннинга [6] или с захватом и эмиссией электронов из локализованных состояний в туннельных барьерах [8]. Ответ на это должны дать дальнейшие исследования.

В заключение отметим, что характеристики исследовавшихся мостиков ($T_c, \Delta T_c, j_c$ при $T=4.2 \text{ К}$) заметно выше, чем у аналогичных структур [9], а вольт-ваттная чувствительность детекторов на их основе при той же температуре приближается к чувствительности интегральных джозефсоновских детекторов с переходами из Nb [5, 10].

Авторы признателны Е.М. Гершензону за полезные замечания.

Работа поддерживается Научным советом по проблеме ВТСП и выполняется в рамках проекта № 40 Государственной программы „Высокотемпературная сверхпроводимость”.

Список литературы

- [1] Гудков А.Л., Ильин В.А., Лаптев В.Н. и др. // Письма в ЖТФ. 1988. Т. 14. № 9. С. 826–830.
- [2] Лихарев К.К., Ульрих Б.Т. Системы с джозефсоновскими контактами. М.: Изд. МГУ. 1978. 446 с.
- [3] Дробинин А.В., Лутовинов В.С. // Письма в ЖТФ. 1988. Т. 14. № 21. С. 1949–1952.
- [4] Yu M.L., Saxena A.M. // IEEE Trans. on Magn. 1975. V. MAG-11. N 2. P. 674–677.
- [5] Гудков А.Л., Ильин В.А., Лаптев В.Н. и др. // ЖТФ. 1988. Т. 58. № 11. С. 2261–2263.

- [6] Ono R.H., Beall J.A., Grommar M.W. et. al. // Mat. Appl. Supercond. Conf., San.Francisco. 1988. P. 65-68.
- [7] Ильин И.А., Масленников Н.М., Семин И.А. // РТЭ. 1989. Т. 34. № 6.
- [8] Rogers C.T., Buhrman R.A. // Phys. Rev. Lett. 1984. V. 53. P. 1279-1282.
- [9] Wiener-Avnear E., Cooper J.E., Kerner G.L. et al. // Mat. Appl. Supercond. Conf., San-Francisco. 1988. P. 210-213.
- [10] Гудков А.Л., Кулаков И.Н., Лаптев В.Н. и др. // Препринт ИЗМИР АН СССР. № 9 (763). 26 с.

Московский государственный
педагогический институт
им. В.И. Ленина

Поступило в Редакцию
3 июня 1989 г.

Письма в ЖТФ, том 15, вып. 22
05.4; 09

26 ноября 1989 г.

СВЕРХПРОВОДНИКОВЫЙ ПРИЕМНИК 8 ММ ДИАПАЗОНА С НИЗКИМ УРОВНЕМ ШУМА

А.В. Поладич, Л.П. Стрижко

Малый уровень имеющих дробовый характер собственных шумов туннельных переходов сверхпроводник-изолятор-сверхпроводник (СИС) и высокая нелинейность их ВАХ позволили, несмотря на трудности согласования, снизить шумовую температуру T_R приемников мм диапазона до ~ 100 К [1]. Дальнейшее снижение T_R рассматривалось до настоящего времени в связи с возможностью в СИС-переходах усиления при преобразовании в квантовом режиме, в эксперименте получена $T_R = 24$ К на 34.5 ГГц [2]. Но условие работы в квантовом режиме $\frac{h\nu_e}{k} > V_B$, V_B - интервал нелинейности ВАХ, выполняется или на больших частотах, или в средне- и длинноволновой частях мм диапазона для переходов с очень высокой нелинейностью, часто лишь при $T < 2$ К, достигаемой откачкой паров гелия. Во многих случаях недостаточно широким остается и динамический диапазон квантового смесителя. В то же время в классическом режиме, где сохраняется описываемая ВАХ связь между мгновенными значениями тока и напряжения и отсутствует усиление, до настоящего времени не удавалось достичь столь же низких, как в квантовом, шумовых температур.

В этом письме мы сообщаем об исследовании приемника на СИС-переходах, работающих в классическом режиме смесения, по параметрам не уступающего квантовым СИС-приемникам, а также квантовым парамагнитным усилителем (мазерам).